

## Původní práce

# HLAVNÍ TECHNOLOGICKÉ CHARAKTERISTIKY SKLÁŘSKÝCH TAVICÍCH PROSTORŮ Z HLEDISKA PRŮBĚHU TAVICÍHO PROCESU

## Část I. Teoretická část

LUBOMÍR NĚMEC

*Společná laboratoř pro chemii a technologii silikátů ČSAV a VŠCHT, 166 28 Praha 6  
Suchbátarova 5*

Došlo 15. 10. 1987

*Byly odvozeny vztahy, jejichž řešením lze získat hodnoty středních dob zdržení pro modelový prostor tavicí sodnovápenatou sklovinnu. S využitím laboratorních dat o rozpouštění písku a růstu bublin byly takto získány teoretické podklady pro výpočet měrné spotřeby energie a výkonu modelového tavicího prostoru. Výpočet bere v úvahu uskutečnění hlavních tavicích dějů, tj. rozpouštění písku a odstraňování bublin. Předpokládá se, že oba hlavní děje jsou dokončeny právě na výstupu z tavicího prostoru. Uvedené podklady umožňují zjištění vlivu významných faktorů tavicího procesu na spotřebu energie a výkon tavicího prostoru.*

## ÚVOD

Tavicí schopnost sklářských tavicích prostorů je charakterizována dvěma hlavními údaji: spotřebou energie na tavení a výkonem. Hodnoty obou základních charakteristik jsou za daných tavicích podmínek určovány požadavky na kvalitu skloviny. Při hledání optimálního způsobu provozování sklářských tavicích pecí se v podstatě uplatňují dva základní přístupy: přístup vycházející z empirických poznatků o konstrukci známých pecí a přístup vycházející z poznatků o fyzikálně chemickém průběhu tavicího procesu. Chceme-li hledat optimální podmínky provozování tavicího prostoru, je třeba uplatnit jak první přístup zahrnující především tepelně technické a konstrukční hledisko, tak druhý přístup zaměřený především na časové hledisko vyplývající z kinetických rovnic tavicího procesu. Tabulkou I si můžeme demonstrovat poměr mezi různými přístupy hledání optima (levá část) a dosažitelnými cíli (pravá část).

*Tabulka I*

Poměr mezi různými přístupy hledání optimálního způsobu provozování tavicího prostoru a dosažitelnými cíli

[A] Laboratorní sledování časového průběhu fyz. chem. dějů v tavenině, jejich teoretická formulace, hledání významů a souvislostí, tvorba zjednodušeného modelu	Přechod k optimálním podmírkám daného procesu z hlediska času [A]
	Neoptimální režim daného agregátu (využito pouze minulých zkušeností) [B]

[B] Empirické navrhování tavicího agregátu	Přechod k optimálnímu režimu daného agregátu $[A + B]$ , $[B + C]$ , $[A + B + C]$
[C] Matematické a fyzikální modelování tavicího agregátu	Optimální podmínky daného procesu z hlediska měrné spotřeby energie $[A + D]$
[D] Laboratorní sledování dějů z hlediska měrné spotřeby energie	Optimální režim daného agregátu $[A + C + D]$ , $[A + B + C + D]$
[E] Navrhování nových způsobů vedení tavicího procesu	Optimální režim navrženého optimalizovaného agregátu $[A +  B  + C + D + E]$

Z tabulky I je zřejmé, že již částečné řešení úkolu zahrnuje v sobě modelování daného tavicího prostoru včetně uvažování fyzikálně chemických procesů uvnitř zařízení a případného využití empirických poznatků. Komplexní řešení však pro svou složitost nesplňuje požadavek aktivního přístupu, tj. požadavek modelování vlivu základních faktorů na průběh tavicího procesu, jenž by případně vedl i k novým způsobům jeho uspořádání. Je zřejmé, že základním nedostatkem na cestě k potřebnému zobecnění poznatků je vycházení z konkrétního tavicího prostoru. Proto se ukazuje vhodným pokusit se zpočátku definovat optimální tavicí režimy nezávislé v co největší míře na samotném tavicím prostoru. Takové optimální řežimy (viz  $A + D$  v tab. I) by byly s pomocí navrženého způsobu vedení tavicího procesu (viz  $E$ ) a s následným matematickým a fyzikálním modelováním postupně korigovány na optimální režimy technicky realizovatelné.

Každému technologovi a výzkumnému pracovníkovi v oboru jsou dostupné teoreticky dosažitelné meze výkonu tavicího prostoru a energetické spotřeby. Jsou zjistitelné z laboratorně měřených tavicích časů, např. z kelímkových taveb za daných podmínek. Tyto časy ukazují, že hodnoty energetických spotřeb se mohou velmi přibližovat teoretické spotřebě a výkony mohou být až řádově vyšší, než je průmyslově běžně dosahováno. Problémem tedy zůstává uspořádání tavení v tavicím prostoru a zajištění technických podmínek tak, aby se dané charakteristiky v reálném kontinuálním tavicím prostoru těmito teoretickými mezími co nejvíce blížily. Prvním úkolem je proto hledání výhodných tavicích režimů na základě zjednodušeného modelu tavicího procesu s uvažováním některých základních faktorů proces ovlivňujících.

## TEORETICKÁ ČÁST

### Hlavní tavicí charakteristiky

Energetická spotřeba na tavení bývá obvykle charakterizována měrnou spotřebou energie

$$Q = Q_R + Q_{BG} + Q_L. \quad (1)$$

V rovnici (1) tvoří obvykle největší a nejsnáze ovlivnitelnou složku ztráty. Hodnoty ztrát ovlivňují především technologické doby tavení — tj. zejména homogenizační procesy vedoucí k odstraňování pevných a plynných nehomogenit (rozprísku a čeření). Proto se úsilí o snížení spotřeby energie při výrobě skla soustředuje především na snížení ztrát. U jednoduchého tavicího prostoru bez recirkulace

energie lze měrné ztráty vyjádřit jako množství tepla prošlého do okolí stěnami tavicího prostoru

$$Q_L = \frac{\sum_{i=1}^n \int_{F_i} \left[ -\lambda_i \frac{\partial t}{\partial n_i} dF_i \right]}{V \cdot \varrho} \cdot \bar{\tau} \cdot \frac{1}{1-m}. \quad (2)$$

Nejvýznamnější položkou ve vztahu (2) je hodnota střední doby zdržení  $\bar{\tau}$ . Pro systém reprezentovaný jakýmkoliv tavicím prostorem lze  $\bar{\tau}$  vyjádřit takto:

$$\bar{\tau} = K \cdot \tau_{\text{techn}} + \tau_{\text{rez}}. \quad (3)$$

Hlavním problémem optimalizace je stanovení hodnot a závislostí  $K$  a  $\tau_{\text{techn}}$  na parametrech tavení. Zjištění hodnoty  $\tau_{\text{techn}}$  vyžaduje studium kinetiky dějů účastnících se tavicího procesu. V obecném případě je možno zjednodušit celý tavicí proces na dva základní děje:

1. mizení pevných nehomogenit — vlastní tavení včetně reakcí v kmeni;
2. mizení plynných nehomogenit — čeření.

Za běžných technologických podmínek platí alespoň v části tavicího prostoru vztah aditivity mezi dobami potřebnými k uskutečnění obou dějů, tedy [1]:

$$\tau_{\text{techn}} = \tau_D + \tau_{RN}. \quad (4)$$

Nedochází-li k heterogenní nukleaci bublin na zrnech písku ( $t < t_N$ ), vztah (4) není splněn a platí:

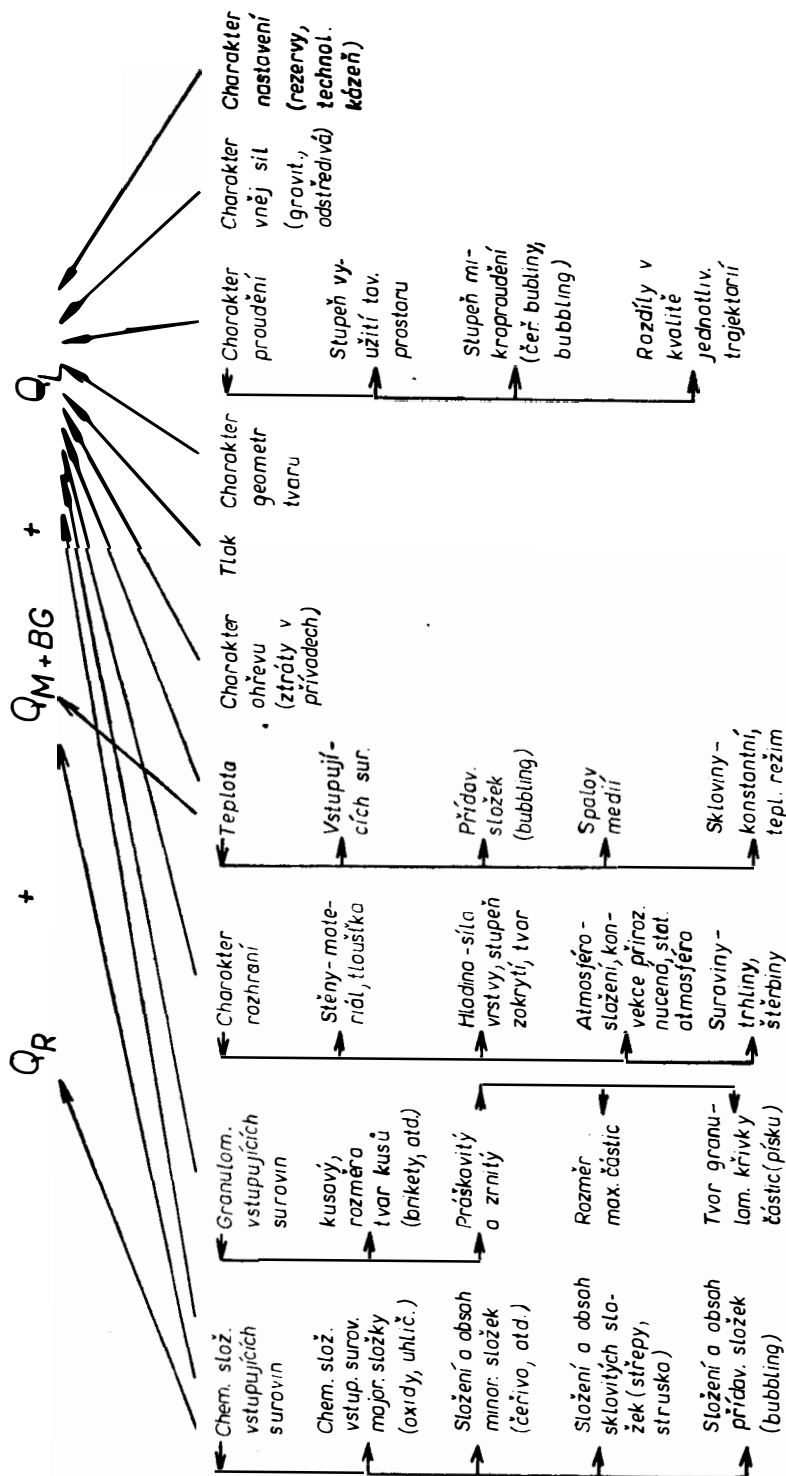
$$\tau_{\text{techn}} = \tau_D, \text{ jestliže } \tau_D > \tau_R,$$

$$\tau_{\text{techn}} = \tau_R, \text{ jestliže } \tau_R > \tau_D.$$

V tomto případě probíhají oba děje (rozpuštění a čeření) současně a délku technologické doby tavení určuje děj časově náročnější.

Předmětem optimalizace průběhu tavicího procesu z časového hlediska je minimalizace hodnot  $\tau_D$ ,  $\tau_R$ , popř.  $\tau_{RN}$ . Příslušné hodnoty těchto časů lze získat z laboratorních měření, popř. výpočtem na základě řešení kinetických rovnic s příslušnými daty [2].

Hodnota  $K$  v rovnici (3) vyjadřující optimalizaci průběhu tavicího procesu spíše z hlediska prostorového je mnohem obtížněji zjištiteLNá, neboť její znalost vyžaduje modelování daného tavicího prostoru. Pro náš první úkol by však modelování znamenalo zkomplikování celého postupu a zahrnutí speciálních vlastností daného prostoru, což by mohlo omezit obecnost závěrů. Vyjdeme proto z toho, že vliv hodnoty  $K$  na tavicí charakteristiky je možno modelovat současně s vlivem velikosti mrtvého prostoru. Zde je výhodná znalost mezí, ve kterých se hodnota  $m$  může pohybovat ( $m \in \langle 0, 1 \rangle$ ). Vliv  $m$  a  $K$  je tedy v prvním stadiu možno modelovat současně, a to jen prostou volbou  $m$  v daných mezích, aniž bychom znali prostorové uspořádání průběhu tavení. Taktto lze bez složitých výpočtů nalézt míru vlivu tohoto faktoru na tavicí charakteristiky pro podmínky odpovídající reálným. Zahrnutí hodnoty  $K$  do hodnoty  $m$  odpovídá případu, kdy tavicí prostor matematicky modelujeme. V tomto případě část skloviny zařízením pouze jedenkrát projde od základky k výtoku a druhá část skloviny cirkuluje v zařízení po nekonečně dlouhou dobu. Místo hodnoty  $K$  pak ve vztahu (3) vystupuje hodnota  $K'$



vyjadřující pouze rozdíl mezi průchozími drahami, její hodnota se dle literatury [3] pohybuje v mezích 1,5–2,1 a přepočet na reálný případ je možný:

$$K'\tau' \frac{1}{1-m'} = K\tau \frac{1}{1-m}, \quad (5)$$

zde předpokládáme, že  $\tau_{rez} = 0$ .

Souhrn faktorů ovlivňujících měrnou spotřebu energie je pak uveden v obr. 1.

Pro výkon zařízení se střední dobou zdržení  $\tau$  můžeme psát:

$$P = \frac{(1-m) \cdot V}{\tau} \cdot \rho. \quad (6)$$

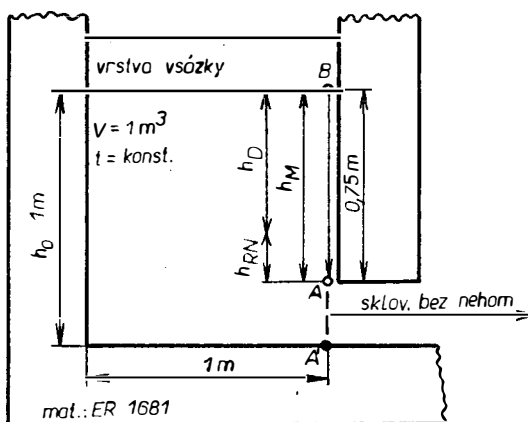
### Průběh tavení a čerjení v modelovém zařízení

Protože ve vzorci pro výpočet měrné energetické spotřeby i výkonu se objevují data charakterizující tavicí prostor, je třeba provést volbu takového modelového tavicího prostoru. Pro projednávaný případ bylo zvoleno co nejjednodušší tavicí zařízení se zakrytou hladinou a bez recirkulace energie, jež je znázorněno v obr. 2.

Sklovina se v zařízení základních parametrů udaných v obr. 2 pohybuje po kritické (tj. zde geometricky nejkratší) dráze BA shora dolů. Aby bylo možno porovnávat jednotlivé výsledky, je nutno dodržet tzv. standardní nastavení. Aniž bychom se blíže zajímali o proudění skloviny, předpokládáme že:

1. V případě pouhého rozpouštění píska se největší zrno  $\text{SiO}_2$  rozpustí právě v okamžiku, kdy dosáhne úrovně přechodu do pracovní části (bod A v obr. 2)

2. V případě čerjení je považována za nejvýhodnější ta dráha skloviny, na které by sklovina klesala dolů podél přepážky. V tom případě se žádná bublina nesmí dostat níže, než odpovídá bodu A v obr. 2.



Obr. 2. Schéma modelového zařízení.

Standardní nastavení tedy odpovídá tavení skloviny bez tzv. tavicí rezervy ( $\tau_{rez} = 0$ ). Je to způsob řešení, kterým se vyhneme složitému výpočtu chování častic uvnitř tavicího prostoru. Dodržet standardní nastavení pak znamená v případě rozpouštění píska i čerjení splnit zmíněné požadavky především na nejnevýhodnější tzv. kritické dráze, která pro případ izotermního tavení odpovídá

vzdálenosti  $BA = h_M$  poblíž stěny přepážky jak pro rozpouštění písku, tak pro čeření. Při sledování průběhu tavení a čeření se řeší tři případy:

1. Uvažuje se pouze rozpouštění písku,  $h_M/v_G = \tau_D$  (předpokládáme, že písek se pohybuje stejnou rychlosťí jako sklovina a  $v_G$  je konstantní). Pro případ pístového toku v oblasti průběžných drah (ne cirkulačních), kde  $K' = 1$ , pak platí:  $\tau = \tau_D$ .

2. Rozpouštění písku a výstup bublin probíhají souběžně:

- a) jestliže  $\tau_D > \tau_R$ , platí totéž jako v příp. 1, 2  $\bar{\tau} = \tau_D = h_M/v_G$ ;
- b) jestliže  $\tau_R > \tau_D$ , hledá se největší hodnota  $v_G$ , pro kterou nejmenší bublina ze souboru není na kritické dráze stržena sklovinou níže, než odovídá bodu  $A$ . V bodě  $A$  tedy musí v krajním případě platit  $v_G = v_B$ , tj. pro konstantní  $v_G$  máme:

$$\frac{h_M}{\tau_D} = \frac{2g\varrho}{9\eta} (a_{0\min} + k\tau'_R)^2. \quad (7)$$

Pravá strana rovnice (7) vyjadřuje rychlosť vzestupu nejmenší bubliny v bodě  $A$ . Vzdálenost uražená nejmenší bublinou v libovolném bodě na dráze  $BA$  je dána:

$$h = h_G - h_B. \quad (8)$$

V bodě  $A$  platí:

$$h_M = \frac{h_M}{\tau'_D} \cdot \tau'_R - \frac{2g\varrho}{9\eta} \left( a_{0\min}^2 \tau'_R + a_{0\min} k \tau'^2_R + \frac{k^2 \tau'^3_R}{3} \right). \quad (9)$$

Řešením rovnic (7) a (9) lze pak pro známé  $a_{0\min}$  získat hodnoty  $\tau'_R$  a  $\tau'_D$ . Pro případ pístového toku  $\tau = \tau'_R$ .

3. Probíhá-li heterogenní nukleace bublin na zrnech písku, platí aditivní vztah (4) a rozpouštění písku a čeření nukleovaných bublin jsou časově navazující děje. Platí požadavek, že bublina nukleovaná na největším zrnu písku v okamžiku jeho rozpouštění nesmí klesnout níže, než odpovídá bodu  $A$ . Protože pro tento případ  $a_0 \rightarrow 0$ , lze upravit rovnici (7) takto:

$$v_G = \frac{h_D}{\tau_D} = \frac{2g\varrho k^2}{9\eta} \cdot \tau'^2_{RN}. \quad (10)$$

Pro vzdálenost  $h_{RN}$  platí ( $a_0 \rightarrow 0$ ):

$$h_M - h_D = \frac{h_D}{\tau_D} \cdot \tau'_{NR} - \frac{2g\varrho k^2}{27\eta} \cdot \tau'^3_{RN}. \quad (11)$$

Kombinací rovnic (10) a (11) dostáváme

$$\frac{2h_D^{3/2}}{\tau_D^{3/2}} \cdot \left( \frac{\eta}{2g\varrho k^2} \right)^{1/2} + h_D - h_M = 0. \quad (12)$$

Pro  $\tau'_D = \bar{\tau}$  (pístový tok) platí

$$\frac{h_M}{\tau_D} \cdot \tau_D = \tau'_D. \quad (13)$$

Na základě následnosti nebo paralelnosti obou hlavních tavicích dějů můžeme tedy provést výpočty závislosti měrné spotřeby energie a výkonu na základních faktorech tavicího procesu. Z výsledků budou pak odhadnuty podmínky nebo

režimy výhodné z hlediska obou charakteristik a možnosti průmyslové aplikace. Konkretizací modelového zařízení jsou již sice ovlivněny absolutní hodnoty energetických spotřeb a výkonů, zůstávají však zachovány tendenze vývoje charakteristik při změnách faktorů. Sledovanými faktory v našem případě jsou tyto: teplota (konstantní v celém tavicím prostoru), granulometrie písku, druh a koncentrace čeřiva, stupeň využití tavicího prostoru (hodnota  $m'$  v rovnici (5)) a mechanické míchání taveniny při rozpouštění písku. Při výpočtech je možno využít těch známých laboratorních a teoretických dat, u nichž lze předpokládat nezávislost na měřítku, tj. zejména dat popisujících rozpouštění písku a chování bublin.

## ZÁVĚR

Předložené teoretické podklady ukazují cestu, jak hledat obecně možnosti dosažení nízkých energetických spotřeb a vysokých výkonů tavicích zařízení, vycházíme-li přímo z průběhu tavicího procesu. Vytěsný úkol odpovídá cíli označenému v pravé části tabulky I jako [A + D]. Pro jeho splnění je třeba současně značné množství experimentálních dat o průběhu tavení a čerání. Taková měření byla v minulém období provedena v naší laboratoři v rámci studia kinetiky tavicího procesu a jejich výsledky budou dále použity pro výpočty na zvoleném modelovém zařízení. Druhá část práce se proto bude zabývat vlivem vybraných faktorů na hlavní tavicí charakteristiky modelového tavicího prostoru, uvažujeme-li pouze rozpouštění písku. Další část práce se pak bude zabývat stejným problémem při uvažování čerání současně s rozpouštěním písku a ukáže některé možnosti aplikace výsledků na reálné tavicí prostory.

## Literatura

- [1] Němec L.: Jour. Am. Ceram. Soc. 60, 436 (1977).
- [2] Němec L.: Průběžná zpráva o řešení DÚ IV-4-3/04 za období 1. 1. 1981 – 1. 9. 1983, SLS ČSAV a VŠCHT, Praha (1983).
- [3] Cooper A. R.: Jour. Am. Ceram. Soc. 43, 97 (1960).

## ОСНОВНЫЕ ТЕХНОЛОГИЧЕСКИЕ ХАРАКТЕРИСТИКИ СТЕКЛОВАРЕННЫХ ПЛАВИЛЬНЫХ ПРОСТРАНСТВ С ТОЧКИ ЗРЕНИЯ ХОДА ПЛАВИЛЬНОГО ПРОЦЕССА

### Часть 1. Теоретическая часть

Лубомир Немец

*Общая лаборатория химии и технологии силикатов ЧСАН и ХТИ  
166 23 Прага*

Удельное потребление энергии и мощность являются основными технологическими характеристиками стекловаренных плавильных пространств. При установлении их оптимальных величин до сих пор исходили из конкретной плавильной зоны, работу и ход которой оптимизировали прежде всего на основании опыта. Однако результаты теоретических лабораторных исследований основных плавильных процессов показывают, что характеристики обычных плавильных установок находят глубоко ниже теоретически достижимых пределов. Данная часть работы приносится теоретические основания, предоставляющие возможность проводить исследования некоторых основных факторов — температуры, размера зерна песка, типа и концентрации осветли-

теля, размера мертвого пространства и механического перемешивания расплава — и их влияния на обе основные характеристики в несложной модельной стекловаренной зоне. Теоретические основания исходят из расчета удельного потребления энергии, мощности плавильной зоны и растворения песка или удаления пузырей на так наз. наиболее пригодном пути через модельную плавильную зону.

*Рис. 1. Факторы, оказыывающие влияние на удельное энергетическое потребление при варке стекломассы.*

*Рис. 2. Схема модельной установки.*

## MAIN TECHNOLOGICAL CHARACTERISTICS OF GLASS TANK MELTING ZONES FROM THE STANDPOINT OF THE COURSE OF THE MELTING PROCESS

### Part I. Theory

Lubomír Němec

*Joint Laboratory for the Chemistry and Technology of Silicates, Czechoslovak Academy of Sciences and Institute of Chemical Technology, 166 28 Prague*

Specific energy consumption and throughput are basic technological characteristics of glass-making melting zones. Efforts aimed at finding their optimum values have so far been based on the concrete melting zone whose operation was optimized, above all empirically. However, the results of laboratory investigations of the primary melting processes indicate that the characteristics of current existing tanks are deep below the theoretically attainable limits. The present theoretical account deals with basic data required for the study of elementary factors such as temperature, sand grain size, type and concentration of refining agent, size of the dead zone and mechanical stirring, and their effects on the two basic characteristics in a simple model melting zone. The theoretical data include calculation of specific energy consumption, throughput of the melting zone and dissolution of sand, and possibly also elimination of seed by the so-called least favourable path through the model melting zone.

*Fig. 1. Factors influencing the specific energy consumption of glass melting.*

*Fig. 2. Schematic diagram of the model melting zone.*

### Seznam symbolů

- $a_{0\min}$  — počáteční poloměr nejménší uvažované bublinky v souboru [m]  
 $h_B$  — vzdálenost, kterou urazí bublina na kritické dráze vzhůru v daném čase [m]  
 $h_D$  — největší vzdálenost, kterou smí urazit zrno písku na kritické dráze, probíhá-li heterogenní nukleace bublin [m]  
 $h_G$  — vzdálenost, kterou urazí sklovina na kritické dráze dolů v daném čase  
 $h_M$  — největší vzdálenost, kterou smí urazit zrno písku, popř. bublina, na kritické dráze [m]  
 $h_0$  — celková výška hladiny skloviny v tavicím prostoru [m]  
 $h_{RN}$  — největší vzdálenost, kterou smí urazit na kritické dráze bublina nukleovaná na posledním zrnu písku [m]  
 $k$  — průměrná rychlosť růstu bublin [m/s]  
 $m$  — podíl mrtvého prostoru stanovitelný např. izotopovou zkouškou  
 $m'$  — podíl mrtvého prostoru získaný z matematického modelování tavicího prostoru  
 $n_i$  — souřadnice kolmá k  $i$ -té stěně [m]  
 $t$  — teplota [ $^{\circ}\text{C}$ ]

$t_N$	— teplota, při níž dochází k nukleaci bublin na zrnech písku [ $^{\circ}\text{C}$ ]
$v_B$	— rychlosť výstupu bubliny na kritické dráze [ $\text{m/s}$ ]
$v_G$	— rychlosť pohybu skloviny na kritické dráze [ $\text{m/s}$ ]
$F_i$	— plocha $i$ -té stěny [ $\text{m}^2$ ]
$K$	— bezrozměrná konstanta vyjadřující podíl průměrné doby zdržení skloviny v tavicím prostoru a doby zdržení na kritické dráze
$K'$	— bezrozměrná konstanta vyjadřující podíl průměrné doby zdržení skloviny na tzv. průchozích drahách a doby zdržení skloviny na průběžné kritické dráze
$P$	— výkon tavicího prostoru [ $\text{kg/s}$ ]
$Q$	— měrná energetická spotřeba na tavení [ $\text{kJ/kg}$ ]
$Q_{BG}$	— měrné teplo odvěděné plynoucími produkty rozkladu kmene [ $\text{kJ/kg}$ ]
$O_L$	— měrné ztráty [ $\text{kJ/kg}$ ]
$Q_M$	— měrné teplo potřebné na ohřátí skloviny na technologickou teplotu [ $\text{kJ/kg}$ ]
$Q_R$	— měrné reakční teplo [ $\text{kJ/kg}$ ]
$V$	— objem skloviny v zařízení [ $\text{m}^3$ ]
$\lambda_i$	— součinitel tepelné vodivosti materiálu na $i$ -té stěně [ $\text{J/m . s . deg}$ ]
$\eta$	— dynamická viskozita skloviny [ $\text{Pa . s}$ ]
$\varrho$	— měrná hmotnost skloviny [ $\text{kg/m}^3$ ]
$\bar{\tau}$	— střední doba zdržení skloviny v kontinuálním tavicím zařízení [s]
$\bar{\tau}'$	— střední doba zdržení na průchozích drahách tavicím prostorem [s]
$\tau_D$	— čas potřebný k rozpuštění pevných částic písku [s]
$\tau'_D$	— nejkratší doba, za kterou smí sklovina urazit vzdálenost $h_M = BA$ [s]
$\tau_{rez}$	— časová rezerva tavicího procesu [s]
$\tau_R$	— doba čerpení primárních bublin z kmene [s]
$\tau'_R$	— doba, za kterou nejmenší bublina dorazí z bodu $B$ do bodu $A$ [s]
$\tau_{RN}$	— doba potřebná k vyčeření heterogenně nukleovaných bublin [s]
$\tau'_{RN}$	— doba, za kterou poslední nukleovaná bublina urazí vzdálenost $h_{RN}$ (viz obr. 2) [s]
$\tau_{techn}$	— doba potřebná k uskutečnění tavicího procesu na kritické dráze [s]

**PODLOŽKY PRO MAGNETICKÉ PAMĚŤOVÉ DISKY (8,89 cm)** jsou vyráběny firmou Kyocera z keramiky s vysokou odolností proti korozi, nahrazující dosud užívaný blíník. Používá se hlinitá keramika s povlakem ze skla, protože podložka musí být opatřena materiélem s vysokou magnetickou permeabilitou. Roční produkce firmy bude činit 100 tis. těchto podložek.

Am. Cer. Soc. Bul., 65, 1986, č. 11, s. 1487

Fryntová

**ŠTYRIA NAJVÄČŠÍ VÝROBCOVIA PLOCHÉHO SKLA** sa v roku 1986 podieľali na svetovom trhu nasledovne: Pilkington Brothers (Vielká Británia) — 25 %; PPG Industries (USA) — 15 %; Saint Gobain (Francúzsko) — 15 %; Asahi (Japonsko) — 10 %.

Glass Industry, máj 1987 (Liška)

Pracovníci v továrnach na výrobu sklovláknitých izolačných materiálov sú vo zvýšenej miere ohrození rakovinou pľúc. Tento alarmujúci výsledok poskytol 22-ročný (1955–1977) zdravotnícky prieskum pracovníkov firmy Fiberglass Canada Inc. zamestnaných v továrnach na sklovláknitú izoláciu v Sarnii (Ontario). Zistilo sa, že za sledované 22-ročné obdobie z 2500 mužov zamestnaných v tejto tovární aspoň na dobu troch mesiacov 21 doteraz zomrelo na rakovinu pľúc. Očakávaná hodnota, vyplývajúca z celkového výskytu tohto ochorenia je iba 12 úmrtí a zistený rozdiel je štatisticky významný. Na základe štúdia financovaného ministerstvom